

# Numerical Simulation of Turbulent Reacting flow in a Trapped Vortex Combustor

**M. Esmaeili<sup>1\*</sup>**

Department of Mechanical Engineering, Faculty of Engineering, Kharazmi University

\*Postal Code: 1465774111, Tehran, IRAN

**m.esmaeili@khu.ac.ir**

*Trapped vortex combustor (TVC) is a compact combustor which represents the high efficiency in flame stabilization. In this study, turbulent reacting flow through trapped vortex combustor is numerically simulated. In order to model turbulence, the K- $\omega$ -SST and scale adaptive simulation (SAS) models, and to model combustion, the species transport and probability density function (PDF) approaches are used. To verify the numerical model, numerical results are compared with the available experimental data. There is a good agreement between the mean and RMS values of temperature and emission indices (CO, unburnt hydrocarbon (UHC) and NO<sub>x</sub>) obtained from numerical results and experimental data. Moreover, simulation is performed for different values of equivalence ratios and mainstream inlet temperatures and results show that with a constant value of equivalence ratio, by increasing the mainstream inlet temperature, combustion efficiency increases, while CO and UHC emission indices decrease.*

**Keywords:** Trapped vortex combustor, Reacting turbulent flow, Emission indices, Combustion efficiency

---

1. Assistant Professor (Corresponding Author)

# شبیه‌سازی عددی جریان واکنشی مغشوش در محفظه احتراق با گردابه به دام افتاده

\*<sup>۱</sup> مصطفی اسماعیلی

دانشکده فنی و مهندسی، دانشگاه خوارزمی

\*تهران، صندوق پستی ۱۴۹۱۱-۱۵۷۱۹

m.esmaeili@khu.ac.ir

محفظه احتراق با گردابه به دام افتاده محفظه‌ای فشرده است که کارایی بالایی در پایداری شعله دارد. در این مطالعه، جریان واکنشی مغشوش در محفظه احتراق با گردابه به دام افتاده به صورت عددی شبیه‌سازی شده است. مدل‌های توربولانسی شبیه‌سازی مقیاس انتها و  $K-\omega$ -SST و رویکردهای احتراقی انتقال اجزاء و تابع چگالی احتمال برای مدل سازی توربولانس و احتراق مورد استفاده قرار گرفته‌اند. به منظور اعتبارسنجی مدل عددی، نتایج عددی با نتایج آزمایشگاهی موجود مقایسه شده است. انتها مnasی بین مقادیر متوسط و نوسانی دما، مقادیر صدور آلاینده‌ها (مونوکسید کربن، هیدروکربن نسخته و اکسیدهای نیتروژن) و همچنین راندمان احتراق به دست آمده از حل عددی و نتایج آزمایشگاهی وجود دارد. ضمناً، شبیه‌سازی برای مقادیر مختلف نسبت هم ارزی و دمای ورودی جریان اصلی انجام شد و نتایج نشان می‌دهد که در يك مقدار ثابت نسبت هم ارزی، با افزایش دمای جریان اصلی، راندمان احتراق افزایش و شاخص‌های آلایندگی مونوکسید کربن و هیدروکربن نسخته کاهش می‌یابند.

**واژه‌های کلیدی:** محفظه احتراق با گردابه به دام افتاده، جریان مغشوش، شاخص‌های آلایندگی، راندمان احتراق

## مقدمه

محفظه احتراق یکی از مهم‌ترین اجزای موتور توربین گازی بوده و در آن کارکرد پایدار، برای عملکرد بهتر موتور ضروری است. در محفظه احتراق‌های موجود، شعله در ناحیه اولیه محفظه به کمک پره چرخشی<sup>۲</sup>، پله معکوس<sup>۳</sup> پایدار می‌شود و به موجب آن، یک ناحیه جریان برگشتی<sup>۴</sup> ایجاد می‌شود که به عنوان منبع پیوسته‌ای از اشتعال برای جریان اصلی سوخت و هوای محفظه عمل می‌کند. در سرعت‌های بالای جریان ورودی، این ناحیه تاپیدار شده و بر روی پارامترهایی چون پایداری شعله، راندمان احتراق و میزان آلایندگه‌های خروجی، تأثیر منفی می‌گذارد و در نتیجه موجب عملکرد نامناسب

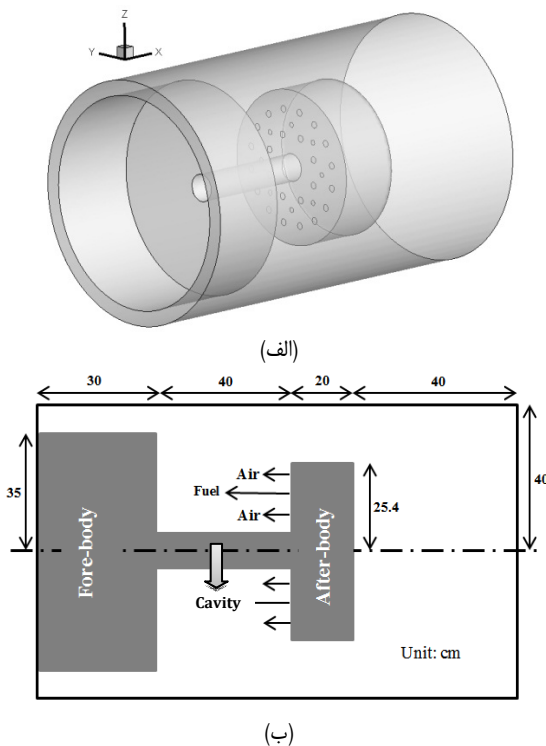
## علامه و اختصارات

$u_i$	سرعت ( $\text{ms}^{-1}$ )
$x_i$	جهت‌های مختصات (m)
$p$	فشار ( $\text{kgm}^{-1}\text{s}^{-2}$ )
$k$	انرژی جنبشی توربولانس ( $\text{m}^{-2}\text{s}^{-2}$ )
$f$	کسر مخلوط
$f^{1/2}$	واریانس کسر مخلوط
$Y$	کسر جرمی
$\omega$	نرخ اتلاف ویژه ( $\text{s}^{-1}$ )
$\rho$	چگالی ( $\text{kgm}^{-3}$ )
$\tau$	عمر متوسط موضعی هوا (s)
$\text{OX}$	اکسید
$\text{fuel}$	سوخت

2. Swirl vane  
 3. Backward facing step  
 4. Recirculating zone

1. استادیار (نویسنده مخاطب)

اخیراً ژیانگ و همکاران در یک مطالعه عددی در سال ۲۰۱۶ [۱۹]، به منظور بهبود راندمان محظوظ احتراق با گردابه به دام افتاده دو بعدی، از یک ساختار جدید حفره به همراه پره راهنمای جسم مانع در برایر جریان<sup>۸</sup> استفاده کردند. نتایج این شبیه‌سازی غیراحتراقی نشان داد که با افزودن جسم مانع، مقدار و توزیع انرژی جنبشی توربولنس و میزان انتقال جرم و حرارت در محفظه احتراق افزایش می‌یابد.



شکل ۱- هندسه محفظه احتراق با گردابه به دام افتاده

مطالعه حاضر به شبیه‌سازی عددی جریان واکنشی معشوش در محفظه احتراق با گردابه به دام افتاده از نوع استوانه‌ای (شکل ۱) پرداخته است. به منظور مدل‌سازی جریان معشوش، از مدل‌های شبیه‌سازی مقیاس انطباقی<sup>۹</sup> و K-ω-SST استفاده شده است. ضمناً رویکردهای احتراقی انتقال اجزاء وتابع چگالی احتمال<sup>۱۰</sup> برای مدل‌سازی احتراق مورد استفاده قرار گرفته‌اند. به منظور اعتبارسنجی مدل عددی، نتایج عددی مطالعه حاضر با نتایج آزمایشگاهی سو و همکاران [۳] مقایسه شده است. ضمناً اثر نسبت هم ارزی کلی محفظه و همچین دمای جریان اصلی ورودی به محفظه بر روی مقادیر آلاینده‌ها و راندمان احتراق بررسی شده است. وجه افتراق مطالعه حاضر از مطالعات گذشته این است که در مطالعه حاضر، اثر

محفظه احتراق می‌شود. این مشکل در محفظه‌های احتراق پایدار شده با جریان چرخشی، با به کارگیری حفره<sup>۱۱</sup> به عنوان شعله نگهدار مرتفع می‌شود [۱۳-۱]. این روش مقاومت، برای پایدار کردن شعله کارایی بالایی دارد و با نام «محفظه احتراق با گردابه به دام افتاده» شناخته می‌شود. این روش را سو و همکاران [۲] ارائه کردند. محفوظه احتراق با گردابه به دام افتاده، یک محفوظه احتراق با هندسه جدید (شکل ۱) است که عملکرد پایدارتری را در محدوده وسیعی از دیهای جرمی سوخت نسبت به فناوری‌های موجود ارائه می‌کند [۲, ۳]. شایان ذکر است، فناوری محفوظه احتراق با گردابه به دام افتاده، مراحل دانش علمی و توسعه محصول را گذرانده ولی هیچ نمونه موتور توربین گازی تجاری که در آن از این فناوری استفاده شده باشد، گزارش نشده است [۴].

XJ در مطالعات متعددی، انواع مختلف محفظه‌های احتراق با گردابه به دام افتاده، به صورت آزمایشگاهی [۱۳-۶] و عددی [۱۴] مورد بررسی قرار گرفته‌اند. به عنوان نمونه، در میان این مطالعات آزمایشگاهی می‌توان به کار تحقیقاتی جین و همکاران [۸] اشاره کرد. این مطالعه در در دانشگاه هوانوردی و فضانوردی نانجينگ<sup>۱۲</sup>، بر روی محفظه‌های احتراق با گردابه به دام افتاده از نوع صفحه‌ای انجام پذیرفته که در آن مشخصات احتراقی و میدان جریان در یک مدل آزمایشگاهی از این محفظه‌ها برای جریان واکنشی و غیرواکنشی بررسی شده است. آنها نتیجه گرفتند که محدوده کنده شدن شعله رقیق<sup>۷</sup> در محدوده نسبت سوخت به هوا ۰/۰۰۴۳ تا ۰/۰۵۶ و ماخ ورودی ۰/۰۱۵ تا ۰/۳ بود که می‌بین پایداری مناسب شعله است. ضمناً بهبود پروفیل شعاعی دمای خروجی، نشان‌دهنده کارایی مناسب جت‌های رقیق‌کنده محفوظه انتخابی است. اخیراً کومار و میشرا [۹]، اثر پارامترهای مختلف بر مشخصات اغتشاش احتراقی یک محفوظه احتراق با گردابه به دام افتاده دو بعدی را به صورت آزمایشگاهی مورد بررسی قرار داده‌اند. تحلیل طیفی آن‌ها نشان داد که مقدار دانسیتی طیفی توان با افزایش سرعت هوای اولیه حفره و تعییر نسبت هم ارزی افزایش می‌یابد.

میان مطالعات عددی انجام شده در این زمینه، می‌توان به مطالعه قنای و همکاران در سال ۲۰۱۳ [۱۴] اشاره کرد. آنها اثر افزایش هیدروژن سوخت را در یک محفوظه احتراق با گردابه به دام افتاده دارای تقارن محوری و دیسک اضافی، مورد بررسی قرار دادند. نتایج این مطالعه نشان داد که افزایش غنای هیدروژن سوخت هیدروکربن باعث افزایش انرژی و در نتیجه افزایش دمای بیشینه می‌شود. ضمناً افزایش هیدروژن سوخت، باعث کاهش مقدار آلاینده اکسیدهای نیتروژن و افزایش مونوکسید و دی‌اکسیدکربن می‌شود.

8. Blunt body

9. Scale Adaptive Simulation (SAS)

10. Probability Density Function (PDF)

5. Cavity

6. NUAA

7. Lean blow out

در این معادلات،  $G_k$  و  $G_\omega$  به ترتیب بیانگر تولید انرژی جنبشی توربولنس ( $k$ ) و تولید نرخ اتلاف ویژه ( $\omega$ ) هستند. ضمناً  $Y_k$  و  $Y_\omega$  بیانگر اتلاف دو کمیت انرژی جنبشی توربولنس و نرخ اتلاف ویژه بوده و  $S$  نیز جمله چشممه دو معادله است. مدل شبیه‌سازی مقیاس انتطباقی، یک مدل دو معادله‌ای است که ابتدا توسط روتا [۲۵] پیشنهاد و سپس توسط متتر و اگروف [۲۶-۲۷] ارائه شده است. معادله حاکم بر این مدل از اضافه کردن یک جمله چشممه (معادله ۵) به معادلات مدل K- $\omega$ -SST (معادلات ۳ و ۴) حاصل می‌شود و به آن مدل SAS-SST نیز می‌گویند.

$$Q_{SAS} = \max \left[ \rho \eta \kappa S^2 \left( \frac{L}{L_{vk}} \right) - C \frac{2\rho k}{\sigma_\phi} \max \left( \frac{1}{\omega^2} \frac{\partial \omega}{\partial x_j}, \frac{1}{k^2} \frac{\partial k}{\partial x_j} \frac{\partial k}{\partial x_j} \right), 0 \right] \quad (5)$$

مفهوم پارامترها و هر یک از جملات این جمله چشممه تاثیرگذار در مراجع [۲۶، ۲۷] بیان شده است. این مدل، در جریان‌های محدود به دیواره مانند مدل‌های میانگین‌گیری شده رینولدز ناویر-استوکس دائم عمل می‌کند ولی در جریان‌های توربولنس غیردائم با تشکیل باندهای وسیعی از طیف توربولنس، مشابه مدل شبیه‌سازی گردابه‌های بزرگ<sup>۱۲</sup> عمل می‌کند. وجود مقیاس طولی فن کارمن مدل شبیه‌سازی مقیاس انتطباقی را قادر می‌سازد تا طیف توربولنس را در جریان‌های ناپایدار تسخیر کند. یک ویژگی مهم شبیه‌سازی مقیاس انتطباقی این است که برخلاف مدل شبیه‌سازی گردابه‌های بزرگ، حساسیت به شبکه در این مدل زیاد نیست.

### مدل‌سازی جریان احتراقی

به منظور مدل‌سازی احتراق، از دو روش استفاده شده است. در روش اول، از مدل انتقال اجزاء استفاده شده است. جمله چشممه معادله انتقال اجزاء یعنی نرخ تولید واکنش، از طریق ترکیب مدل نرخ محدود<sup>۱۳</sup> و مدل اتلاف ادی<sup>۱۴</sup> و استفاده از واکنش‌های شیمیایی تک مرحله‌ای و دو مرحله‌ای به دست آمده است. در روش دوم، شبیه‌سازی واکنش شیمیایی از طریق احتراق غیرپیش‌آمیخته و مدل تابع چگالی احتمال انجام پذیرفته است. ویژگی این روش نسبت به روش‌های نرخ محدود، امکان محاسبه سر جرمی اجزای رادیکالی و درنظر گرفتن اثر تفکیک اجزا<sup>۱۵</sup> و کوپلینگ مناسب جریان مغشوش و واکنش شیمیایی با هزینه محاسباتی پایین است. این

همزمان مدل‌های توربولنس و احتراق و نیز متغیرهای نسبت هم ارزی و دمای ورودی بر عملکرد نسل اول از محفظه‌های احتراق با گردابه به دام افتاده بررسی شده است.

### معادلات حاکم

در این تحقیق از روش حجم محدود برای حل معادلات حاکم بر جریان، مغشوش احتراقی استفاده شده است [۲۱]. معادلات حاکم بر این جریان، معادلات غیردائم میان‌گیری شده رینولدز ناویر-استوکس<sup>۱۶</sup> و معادلات انتقال اجزاء و انرژی هستند. معادلات میان‌گیری شده زمانی بقای جرم و مومتووم به صورت روابط (۱) و (۲) بیان می‌شوند:

$$\frac{\partial \rho}{\partial t} + \frac{\partial(\rho u_i)}{\partial x_i} = 0 \quad (1)$$

$$\frac{\partial(\rho u_j)}{\partial t} + \frac{\partial(\rho u_i u_j)}{\partial x_i} = - \frac{\partial p}{\partial x_j} + \frac{\partial}{\partial x_j} (\tau_{ij} - \rho u'_i u'_j) \quad (2)$$

در معادلات بالا و معادلاتی که در ادامه ارائه می‌شود، علامت میانگین‌گیری زمانی برای سادگی حذف شده است. ترم تنش رینولدز ( $\tau_{ij}$ ) با استفاده از تقریب بوزینسک و مدل جریان مغشوش تعیین می‌شود.

### مدل‌سازی جریان مغشوش

مدل‌های میانگین‌گیری شده رینولدز ناویر-استوکس، کمیت‌های میانگین‌گیری شده جریان را حل می‌کنند، در حالی که بخش اصلی طیف انرژی توربولنس را مدل می‌کنند. در این مقاله، از فرمولاسیون SST مدل‌های K- $\omega$  [۲۲] و شبیه‌سازی مقیاس انتطباقی استفاده شده است. تغییر تدریجی از فرمولاسیون استاندارد K- $\epsilon$  در ناحیه داخلی لایه مرزی به فرمولاسیون K- $\omega$  در ناحیه بیرونی لایه مرزی، ویژگی مهم در فرمولاسیون SST مدل K- $\omega$  است [۲۴]. از این رو مدل K- $\omega$ -SST، قابلیت یک مدل توربولنس رینولدز پایین را بدون استفاده از توابع میراکننده خارجی دارد. ضمناً با تغییر به روش K- $\epsilon$  در جریان آزاد، این مدل مشکلات رایج مدل K- $\omega$  استاندارد را ندارد. معادلات انتقال حاکم بر این مدل به صورت ذیل تعریف می‌شوند:

$$\frac{\partial(\rho k)}{\partial t} + \frac{\partial(\rho k u_j)}{\partial x_j} = \frac{\partial}{\partial x_j} \left[ \left( \mu + \frac{\mu_t}{\sigma_k} \right) \frac{\partial k}{\partial x_j} \right] + G_k - Y_k + S_k \quad (3)$$

$$\frac{\partial(\rho \omega)}{\partial t} + \frac{\partial(\rho \omega u_j)}{\partial x_j} = \frac{\partial}{\partial x_j} \left[ \left( \mu + \frac{\mu_t}{\sigma_\omega} \right) \frac{\partial \omega}{\partial x_j} \right] + G_\omega - Y_\omega + S_\omega \quad (4)$$

12. Large Eddy Simulation (LES)

13. Finite-rate

14. Eddy-dissipation

15. Dissociation

11. URANS

## ناحیه محاسباتی و شرایط مرزی

هندرسۀ استفاده شده در این مقاله بر اساس محفوظۀ احتراق با گردابه به دام افتاده استوانه‌ای ارائه شده در مرجع [۳] است (شکل ۱). از آنجاکه این محفوظه استوانه‌ای شکل است، در صورتی که جت‌های سوخت و هوا در حفره با یک مرز به صورت نوار جایگزین شوند، هندسه دارای ویژگی تقارن محوری شده و هزینه محاسباتی به شدت کاهش می‌یابد. شایان ذکر است این تقریب با وجود کاهش هزینه محاسباتی، می‌تواند باعث خطا در محاسبات شود. بدین منظور، دبی معادل ورودی‌های سوخت و هوا، برای این ورودی نواری شکل محاسبه می‌شود. شرایط مرزی استفاده شده، بر اساس اطلاعات داده شده در مرجع [۳] است. در مرز اصلی ورودی، هوا با سرعت ۴۲ متر بر ثانیه و دمای ۳۰۰ درجه وارد می‌شود. در داخل حفره، سه مرز ورودی (دو ورودی هوا و یک ورودی سوخت) وجود دارد. در هندسۀ اصلی، ورودی سوخت از ۸ جت سوخت با قطر ۱/۷۵ میلی‌متر تشکیل شده است. در هندسه تقارن محوری معادل، در مرز ورودی سوخت، پروپان گازی با سرعت ۵ متر بر ثانیه و دمای ۳۰۰ درجه کلوین، از یک نوار با عرض یک میلی‌متر خارج می‌شود. دبی جریان در این حالت برابر با هندسۀ اصلی است. در هندسه معادل دو ورودی هوا با سرعت ۱۲/۴ متر بر ثانیه و دمای ۳۰۰ درجه کلوین درنظرگرفته شده است. دبی هوا ورودی از این ورودی‌های نواری شکل با دبی هوا خروجی از ۲۴ جت هوا با قطر ۲/۲۹ میلی‌متر در هندسه واقعی برابر است.

## نتایج

قبل از بررسی نتایج، شبکه عددی استفاده شده مورد بررسی قرار می‌گیرد. با معادل‌سازی انجام گرفته (تبديل هندسه سه بعدی به هندسه دو بعدی دارای تقارن محوری)، تعداد شبکه محاسباتی و در نتیجه هزینه محاسباتی به شدت کاهش می‌یابد. در این هندسه با تقارن محوری، از یک شبکه سازمان یافته استفاده شده و به منظور تسخیر بهتر گردایان‌های کمیت‌های مختلف اعم از سرعت، دما و اجزای شیمیایی، شبکه در نزدیکی دیواره‌ها و نزدیک ورودی‌های جت ریز شده است. در این پروژه، از سه شبکه درشت (سی و دو هزار المان)، شبکه متوسط (پنجاه و چهار هزار المان) و شبکه ریز (نود و چهار هزار المان) استفاده شده است. مقایسه نتایج عددی با این سه شبکه نشان می‌دهد، که با استفاده از یک شبکه ریز استقلال از شبکه محاسباتی حاصل می‌گردد.

روش در صورت وجود جریان مغشوش و ورودی مجازی سوخت و اکسنده قابل استفاده است. ضمناً ترخ واکنش‌های شیمیایی باید آنقدر سریع باشد که جریان بتواند به حالت نزدیک به حالت تعادل شیمیایی برسد. در مطالعه حاضر از مدل بتا تابع چگالی احتمال<sup>۱۶</sup> که نتایج بهتری نسبت به سایر مدل‌های تابع چگالی احتمال دارد، استفاده شده است. مدل بتا تابع چگالی احتمال، به وسیله دو پارامتر کمیت متوسط اسکالار و واریانسش تعیین می‌گردد. به منظور دوری جستن از پیچیدگی‌های موجود در معادله انتقال اجزاء، کمیت کسر مخلوط<sup>۱۷</sup> در مدل بتا تابع چگالی احتمال به صورت رابطه (۶) به کسر جرمی ( $Y_i$ ) وابسته می‌شود:

$$f = \frac{Y_i - Y_{i,ox}}{Y_{i,fuel} - Y_{i,ox}} \quad (6)$$

در معادله بالا،  $Zirnouis_{ox}$  و  $fuel$  مربوط به مقادیر کسر جرمی در ورودی اکسنده و سوخت است. در ورودی سوخت،  $f = 1$  بوده و در ورودی اکسنده  $f = 0$  است و در میدان جریان مقدار این کمیت بین صفر تا یک متغیر است. معادله انتقال برای مقدار متوسط کسر مخلوط ( $f$ ) و واریانسش ( $f'^2$ ) به صورت روابط (۷) و (۸) است:

$$\frac{\partial(\rho f)}{\partial t} + \frac{\partial(\rho f u_j)}{\partial x_j} = \frac{\partial}{\partial x_j} \left[ \left( \mu + \frac{\mu_t}{\sigma_t} \right) \frac{\partial f}{\partial x_j} \right] + S \quad (7)$$

$$\begin{aligned} \frac{\partial(\rho f'^2)}{\partial t} + \frac{\partial(\rho f'^2 u_j)}{\partial x_j} &= \frac{\partial}{\partial x_j} \left[ \left( \mu + \frac{\mu_t}{\sigma_t} \right) \frac{\partial f'^2}{\partial x_j} \right] \\ &+ C_g \mu_t \left( \frac{\partial f}{\partial x_j} \right)^2 - C_d \rho \frac{\varepsilon}{k} f'^2 \end{aligned} \quad (8)$$

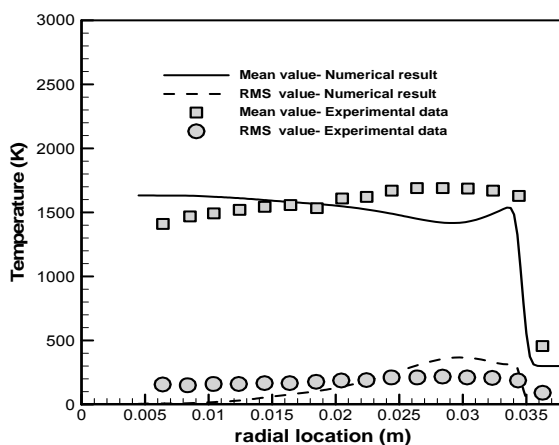
در مطالعه حاضر، دقت گسسته‌سازی جملات پخشی و شارهای جایه‌جایی از مرتبه دوم بوده و میان‌یابی فشار از طریق الگوریتم پرستو<sup>۱۸</sup> انجام پذیرفته و کوپلینگ سرعت و فشار از طریق الگوریتم کوپل<sup>۱۹</sup> انجام پذیرفته است [۲۱]. ضمناً گسسته‌سازی زمانی از طرق روش مرتبه دوم ضمنی محدود شده صورت پذیرفته است. در حل‌های غیردائم، مقادیر میانگین گیری زمانی بعد از گذشت ۱۰ برابر زمان مشخصه محفظه شروع می‌شود. ضمناً، مدت میانگین گیری چند برابر این مقدار است.

16.  $\beta$ -PDF

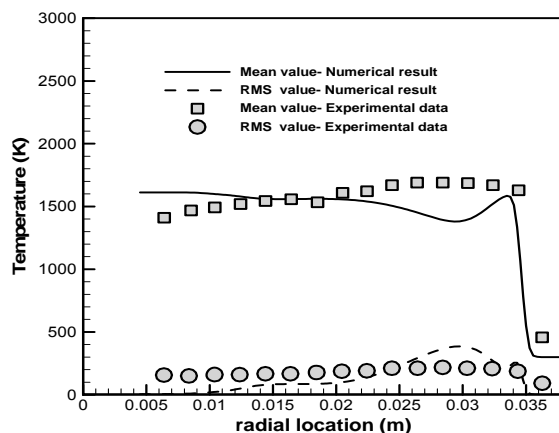
17. mixture fraction

18. PRESTO

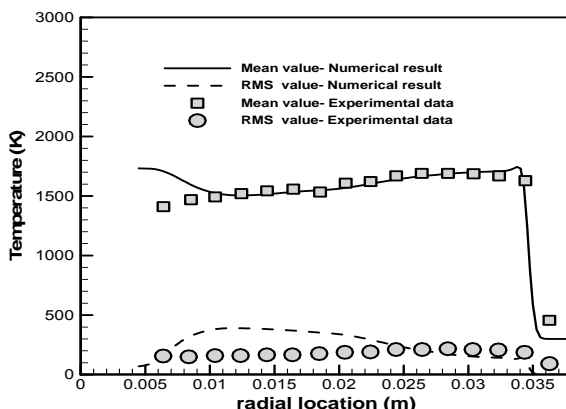
19. Couple



شکل ۲- مقایسه مقادیر متوسط و rms دما به دست آمده از نتایج آزمایشگاهی [۳] با نتایج عددی به دست آمده از مدل توربولانس K- $\omega$  و مدل احتراق انتقال اجزا به همراه واکنش تک مرحله‌ای



شکل ۳- مقایسه مقادیر متوسط و rms دما به دست آمده از نتایج آزمایشگاهی [۳] با نتایج عددی به دست آمده از مدل توربولانس K- $\omega$  و مدل احتراق انتقال اجزا به همراه واکنش دو مرحله‌ای

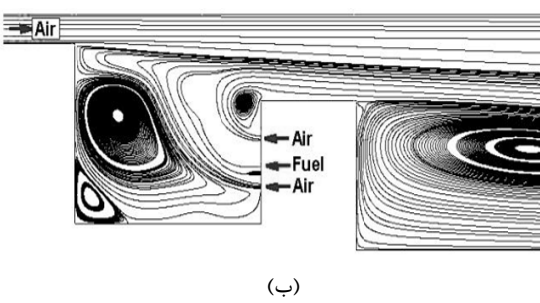
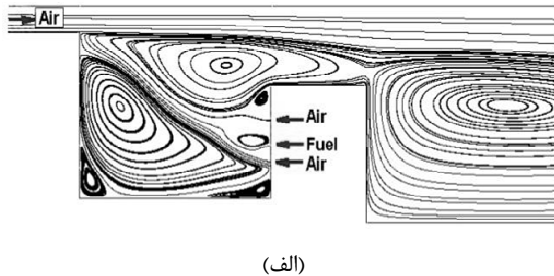


شکل ۴- مقایسه مقادیر متوسط و rms دما به دست آمده از نتایج آزمایشگاهی [۳] با نتایج عددی به دست آمده از مدل توربولانس SAS و مدل احتراق انتقال اجزا به همراه واکنش تک مرحله‌ای

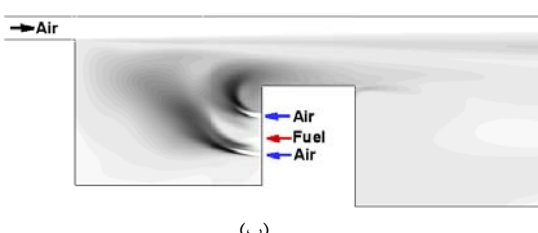
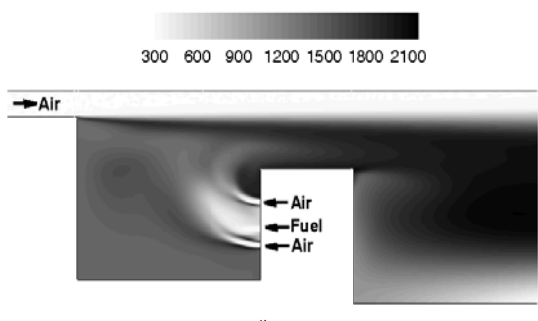
در مرجع [۳]، اطلاعاتی که قابلیت مقایسه با نتایج عددی را داشته باشند محدود است. توزیع مقادیر متوسط و نوسانی دما در مقاطعی محدود و همچنین میزان آلاینده‌ها در خروجی محفظه، اطلاعات قابل مقایسه هستند. در شکل (۲) تا (۴)، توزیع شعاعی مقادیر متوسط و نوسانی دما در مقطع  $x=5\text{ mm}$  در ابتدای حفره قرار دارد) به دست آمده از نتایج عددی با نتایج آزمایشگاهی [۳] مقایسه شده‌اند. در این شکل‌ها عملکرد مدل‌های توربولانس شبیه‌سازی مقیاس انطباقی و K- $\omega$ ، و مدل‌های احتراقی انتقال اجزاء و تابع چگالی احتمال برای مدل‌سازی توربولانس و احتراق مورد ارزیابی قرار گرفته است. با مقایسه شکل (۲) و (۴) مشخص می‌شود، با یک مدل احتراقی یکسان (مدل احتراقی انتقال اجزاء به همراه واکنش تک مرحله‌ای) مدل توربولانس شبیه‌سازی مقیاس انطباقی، مقدار متوسط دما را بسیار بهتر از مدل K- $\omega$  پیش‌بینی کرده است. اما عملکرد هر دو مدل در محاسبه مقدار نوسانی دما چندان موفق نبوده است. با مقایسه شکل‌های (۴) و (۵) مشخص می‌شود، با استفاده از مدل تابع چگالی احتمال، کارایی مدل توربولانس شبیه‌سازی مقیاس انطباقی در محاسبه نوسانی دما بالاتر می‌رود. از مقایسه شکل‌های (۲) و (۳) مشخص می‌شود، با استفاده از یک مدل توربولانس یکسان (K- $\omega$ ) افزایش تعداد مراحل واکنش شیمیایی تأثیر زیادی در کیفیت نمودارهای دمای متوسط و نوسانی ندارد.

در جدول (۱)، میزان راندمان احتراق و مقادیر صدور آلاینده‌ها (مونوکسید کربن، هیدروکربن نسخته و اکسیدهای نیتروژن) در خروجی محفظه به دست آمده از نتایج عددی با نتایج آزمایشگاهی [۳] مقایسه شده است. نتایج نشان می‌دهند، مدل K- $\omega$  به همراه واکنش شیمیایی دو مرحله‌ای و مدل شبیه‌سازی مقیاس انطباقی به همراه تابع چگالی احتمال، بهترین عملکرد را در محاسبه راندمان احتراق داشته و خطای این مدل‌ها برای محاسبه راندمان احتراق کمتر از ۵ درصد است. در K- $\omega$  مورد صدور آلاینده هیدروکربن نسخته نیز عملکرد مدل به همراه واکنش شیمیایی دو مرحله‌ای و مدل شبیه‌سازی مقیاس انطباقی به همراه تابع چگالی احتمال بهتر از دو ترکیب دیگر بوده است. ضمناً در مورد صدور آلاینده مونوکسید کربن نیز عملکرد این دو ترکیب بهتر بوده ولی مدل K- $\omega$  به همراه واکنش شیمیایی دو مرحله‌ای بهترین کارایی را داشته و خطای محاسبه آن کمتر از ۱۰ درصد است. در محاسبه صدور آلاینده اکسیدهای نیتروژن، مدل SAS به همراه واکنش شیمیایی تک مرحله‌ای بهترین عملکرد را داشته و با خطای کمتر از ۷ درصد با نتایج آزمایشگاهی انطباق دارد.

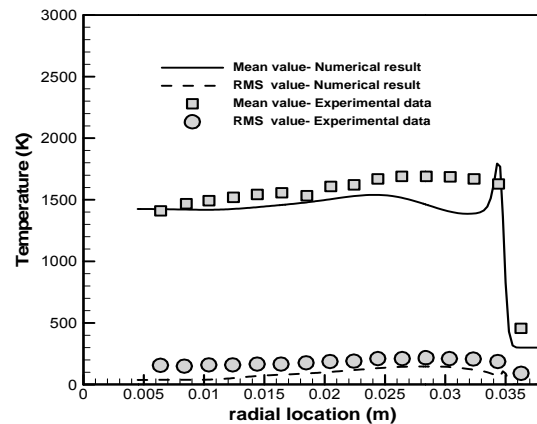
یک ناحیه داغ با دمای حدود ۱۵۰۰ درجه کلوین (که منطبق بر نتایج آزمایشگاهی است) داخل حفره تشکیل می‌شود. دمای ناحیه واکنشی تشکیل شده در لایه برشی بالاتر بوده و این ناحیه با دمای بالاتر تا پشت دیسک دوم ۳۰° کشیده می‌شود.



شکل ۶- خطوط جریان در محفظه احتراق با گردابه به دام افتاده، (الف) جریان غیراحتراقی (ب) جریان احتراقی



شکل ۷- کانتورهای (الف) مقدار میانگین دما (ب) مقدار rms دما



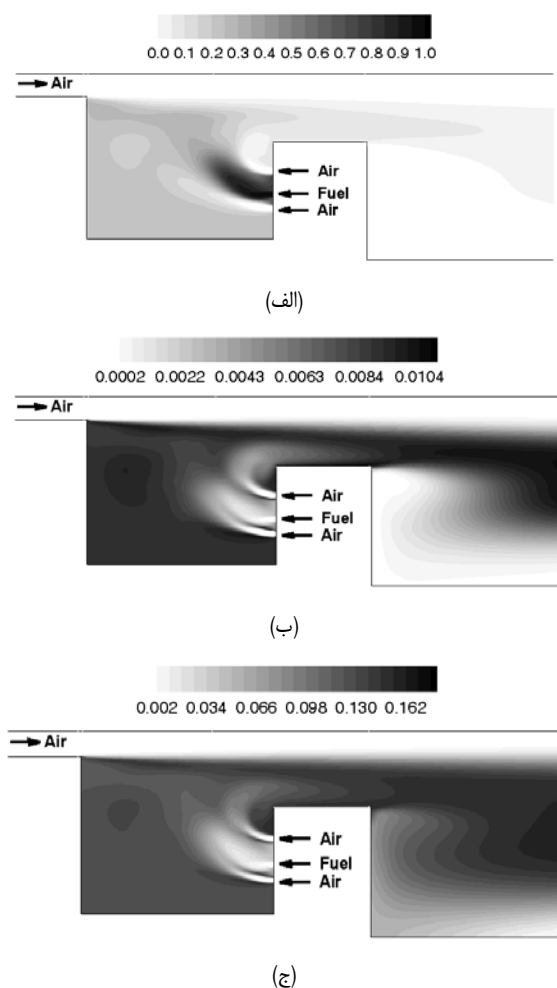
شکل ۵- مقایسه مقدار متوسط و rms دما بدست آمده از نتایج آزمایشگاهی [۳] با نتایج عددی بدست آمده از مدل توربولنس SAS و مدل احتراقی غیرپیش‌آمیخته و PDF

جدول ۱- مقایسه راندمان احتراق و شاخص آلایندگی هیدروکربن نسوزخ، مونوکسیدکربن و اکسیدهای نیتروژن بدست آمده از نتایج عددی و نتایج آزمایشگاهی [۳]

EI NO <sub>x</sub> g/kg ) (Fuel)	EI CO g/kg ) (Fuel)	EI UHC g/kg ) (Fuel)	راندمان احتراق (%)	
۱/۷۸	---	۱۹۱	۸۱	مدل K-ω به همراه واکنش تک مرحله‌ای
۲/۹۵	۸۱/۱	۱۱۲	۸۸.۵	مدل K-ω به همراه واکنش دو مرحله‌ای
۲/۸۷	---	۲۷۰	۷۴	مدل SAS به همراه واکنش دو مرحله‌ای
۵/۹۴	۷۰	۱۱۵	۸۸	مدل SAS به همراه PDF مدل
۱/۹	۹۰	۵۶/۲	۹۲/۳	نتایج آزمایشگاهی سو و همکاران [۳]

مهمترین عامل برای پایداری شعله در محفظه با گردابه به دام افتاده، تشکیل گردابه در داخل حفره محفظه است. ناحیه چرخشی با سرعت پایین، این امکان را به شعله می‌دهد که در این ناحیه پایدار شود و در واقع این گردابه به عنوان شعله نگهدار عمل می‌کند. در شکل (۶)، خطوط جریان برای جریان احتراقی و غیراحتراقی مقایسه شده است. در جریان غیراحتراقی، دو گردابه تشکیل شده است. جهت این گردابه‌ها را جریان اصلی تعیین می‌کند. بر اثر ناحیه واکنشی در لایه برشی بین جریان اصلی و جریان داخل حفره و نیز انبساط ناشی از آزاد شدن گرما باعث شده که شکل گردابه‌ها تغییر گردد و گردابه بالایی اثر خود را از دست داده و تبدیل به یک گردابه بسیار کوچک شده است. در شکل (۷) توزیع مقدار متوسط و rms دما به نمایش درآمده است. همان‌طور که از این شکل برمی‌آید،

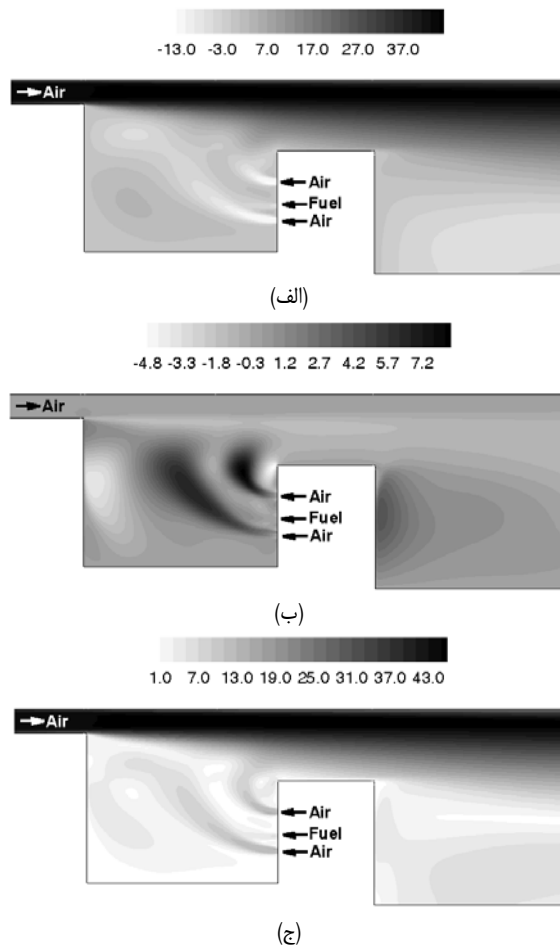
عنوان هیدروکربن نسوخته از محفظه خارج می‌شود. اختلاط جریان سوخت محصور شده در داخل محفظه با هوای اولیه و ثانویه، یک شعله پایدار تشکیل داده و این شعله به عنوان یک پایلوت برای جریان اصلی عمل می‌کند. این ویژگی، امکان کارکردن محفظه با گردابه دام افتاده در شرایط رقیق‌تر سوخت را فراهم می‌آورد.



شکل ۹- کانتورهای مقادیر میانگین کسر جرمی (الف) پروپان ب مونوکسیدکربن (ج) دی اکسید کربن

بعد از مقایسه کمیت‌های جریان با نتایج آزمایشگاهی و تحلیل مشخصات جریان، در ادامه اثر نسبت هم ارزی کلی و اثر دمای ورودی بر راندمان احتراق و میزان آلاینده‌های صادره مورد بررسی قرار می‌گیرد. شایان ذکر است نسبت هم ارزی کلی به صورت هوا به سوخت استوکیومتریک به نسبت هوا به سوخت واقعی تعریف می‌شود. عبارت کلی در انتها نسبت هم ارزی بدین منظور است که در محاسبه نسبت هوا به سوخت واقعی، علاوه بر هوای اولیه و ثانویه داخل حفره، اثر هوای جریان اصلی نیز درنظر گرفته شده است. در شکل (۱۰)، اثر افزایش نسبت هم ارزی برای سه دمای

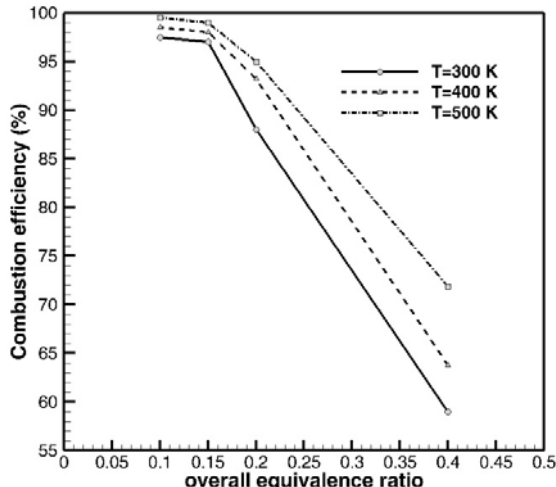
در شکل (۸)، کانتورهای توزیع سرعت محوری، سرعت شعاعی و اندازه سرعت به نمایش درآمداند. همان‌طور که در شکل اندازه سرعت مشخص است، یک ناحیه با سرعت بالا (مرتبه با جریان اصلی سرعت بالا)، یک ناحیه با سرعت پایین (مرتبه با ناحیه جدا شده داخل حفره و ناحیه جدا شده پشت دیسک دوم) و یک ناحیه با سرعت متوسط (مرتبه با ناحیه برپشی حاصل از اختلاط جریان اصلی با جریان داخل حفره) دیده می‌شوند. توزیع سرعت داخل حفره عامل اصلی تشکیل گردابه پایدار کننده شعله است.



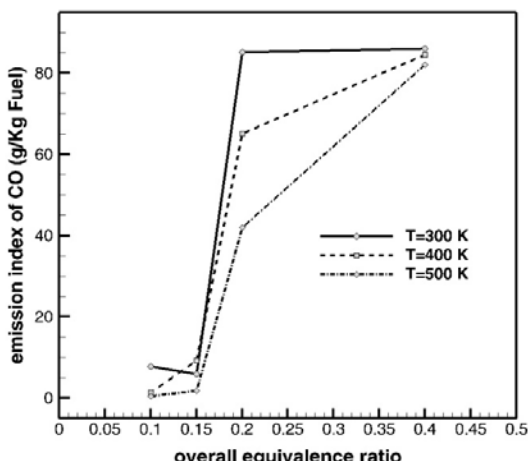
شکل ۸- کانتورهای مقادیر میانگین (الف) سرعت محوری (ب) سرعت شعاعی (ج) اندازه سرعت

در شکل (۹)، کانتورهای کسر جرمی سوخت (پروپان)، مونوکسیدکربن و دی اکسیدکربن نشان داده شده است. همان‌طور که مشخص است در ورودی سوخت، کسر جرمی سوخت بالا بوده و به تدریج با اختلاط با جریان هوای اولیه و ثانویه، کسر جرمی سوخت در داخل محفظه کاهش می‌یابد. نکته مهم از عملکرد مناسب محفظه با گردابه به دام افتاده این است، که بخش عمده محتوای سوخت داخل حفره می‌ماند و تنها بخش بسیار اندکی به

خطی راندمان احتراق و شاخص آلایندگی (به جز اکسیدهای نیتروژن) با دماس است که امکان به دست آوردن رابطه ای برای تغییرات این متغیرها با دما پیدید می آورد. نتایج نشان می دهد با افزایش دمای ورودی، دمای کلی احتراق افزایش یافته و در نتیجه میزان راندمان احتراق افزایش می یابد. ضمناً با افزایش دمای جریان اصلی، میزان شاخص آلایندگی هیدروکربن نسوخته و مونوکسید کربن کاهش می یابد. نکته قابل ذکر این است که شب تغییرات راندمان احتراق و شاخص های آلایندگی هیدروکربن نسوخته با افزایش نسبت هم ارزی افزایش می یابند. در شکل (۱۷)، روند تغییرات شاخص اکسیدهای نیتروژن با دمای ورودی جریان اصلی در نسبت های هم ارزی مختلف نشان داده شده است. نتایج نشان می دهد که میزان شاخص  $\text{NO}_x$  برای نسبت های هم ارزی ۰/۱ و ۰/۱۵ در دمای ۴۰۰ درجه کلوین کمینه است.



شکل ۱۰- نمودار درصد راندمان احتراق بر حسب ضریب اکیووالنس به ازای دماهای ورودی مختلف جریان اصلی

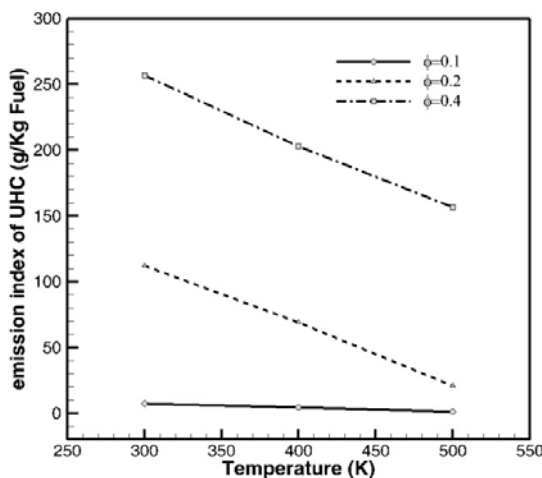


شکل ۱۱- نمودار شاخص آلایندگی مونوکسیدکربن بر حسب ضریب اکیووالنس به ازای دماهای ورودی مختلف جریان اصلی

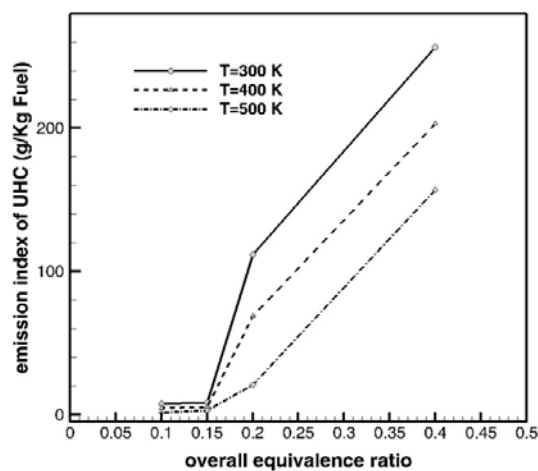
مختلف ورودی بر راندمان احتراق بررسی شده است. نتایج نشان می دهد با افزایش نسبت هم ارزی و در نتیجه کاهش میزان هوا، راندمان احتراق کاهش می یابد. نرخ کاهش راندمان از نسبت هم ارزی ۰/۱ تا ۰/۱۵ خیلی کم است ولی با افزایش نسبت هم ارزی به ۰/۲ و ۰/۴، نرخ کاهش راندمان افزایش می یابد. با کاهش نسبت هم ارزی، محفظه در شرایط رقیق تر کار کرده و با افزایش هوا، میزان سوخت بیشتری مصرف شده و در نتیجه راندمان احتراق بیشتر می شود. شایان ذکر است روند تغییر راندمان احتراق برای دماهای ورودی مختلف یکسان بوده و با افزایش دمای ورودی، دمای ناحیه واکنشی و دمای دیواره نیز افزایش یافته و در نتیجه راندمان احتراق افزایش می یابد. ضمناً، از نسبت هم ارزی ۰/۱۵ بالاتر، تغییرات راندمان احتراق تقریباً به صورت خطی است.

در شکل (۱۱)، اثر افزایش نسبت هم ارزی در دماهای مختلف بر روی میزان شاخص آلایندگی مونوکسیدکربن نشان داده شده است. به جز ناحیه نسبت هم ارزی بین ۰/۱ تا ۰/۱۵، که روند تغییرات شاخص آلایندگی مونوکسیدکربن منظم نیست، با افزایش نسبت هم ارزی از ۰/۱۵ به بعد، میزان مونوکسیدکربن در خروجی افزایش می یابد. ضمناً با افزایش دمای میزان مونوکسیدکربن کاهش می یابد. در شکل (۱۲)، اثر افزایش نسبت هم ارزی در دماهای مختلف بر روی میزان شاخص آلایندگی هیدروکربن نسوخته نشان داده شده است. روند تغییرات دقیقاً عکس روند تغییرات راندمان احتراق است. با افزایش نسبت هم ارزی و در نتیجه کاهش میزان هوا، میزان شاخص هیدروکربن نسوخته افزایش می یابد. ضمناً در دماهای ورودی بالاتر نیز میزان هیدروکربن نسوخته کمتر است. در شکل (۱۳)، روند تغییرات شاخص اکسیدهای نیتروژن با افزایش نسبت هم ارزی کلی برای دماهای مختلف نشان داده شده است. همانطور که از این شکل بر می آید با کاهش نسبت هم ارزی میزان شاخص اکسیدهای نیتروژن کاهش می یابد. علت این روند را می توان با توزیع خطوط جریان و دما در شکل های (۶) و (۷) توجیه کرد. همان طور که در این شکل ها مشخص است، ناحیه جدا شده بعد از دیسک دوم، مکان مناسبی برای افزایش دمای گازهای خروجی پدید آورده است. با افزایش دمای میزان اکسیدهای نیتروژن گرمایی (Themel  $\text{NO}_x$ ) که بخش مهم اکسیدهای نیتروژن را تشکیل می دهد، افزایش یافته و در نتیجه مقدار کلی شاخص اکسید نیتروژن نیز افزایش می یابد. ضمناً، روند تغییر میزان اکسید نیتروژن برای دماهای ورودی مختلف، روند یکنواخت نداشته و میزان شاخص  $\text{NO}_x$  در دمای ورودی ۴۰۰ درجه کلوین، کمینه است.

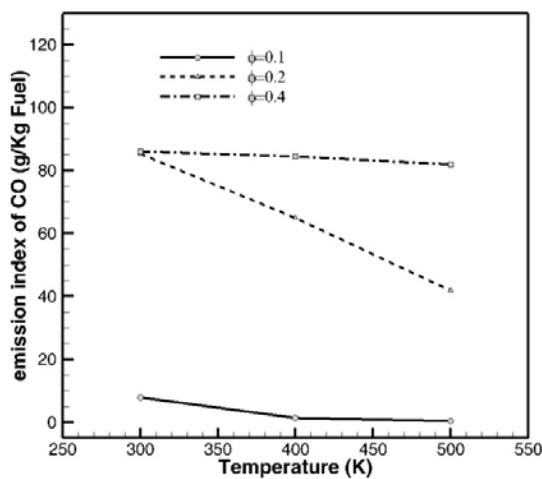
در شکل (۱۴) تا (۱۷)، روند تغییرات راندمان احتراق و شاخص آلایندگها با دمای ورودی جریان اصلی در نسبت های هم ارزی مختلف به نمایش درآمده است. نکته مهم این نمودارها، تغییرات



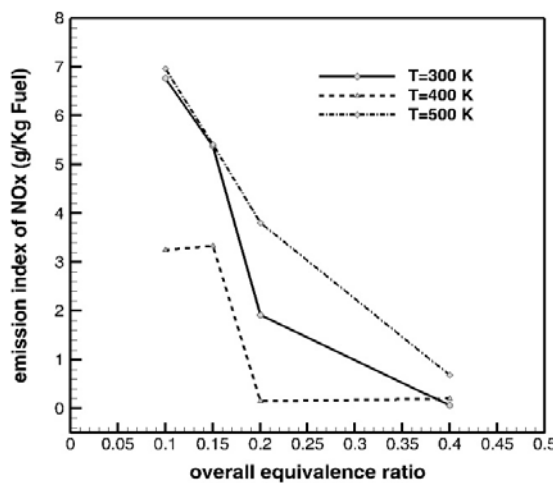
شکل ۱۵- نمودار شاخص آلایندگی هیدروکربن نسوخته بر حسب دماهای ورودی مختلف جریان اصلی به ازای ضریب اکیووالنس‌های کلی مختلف



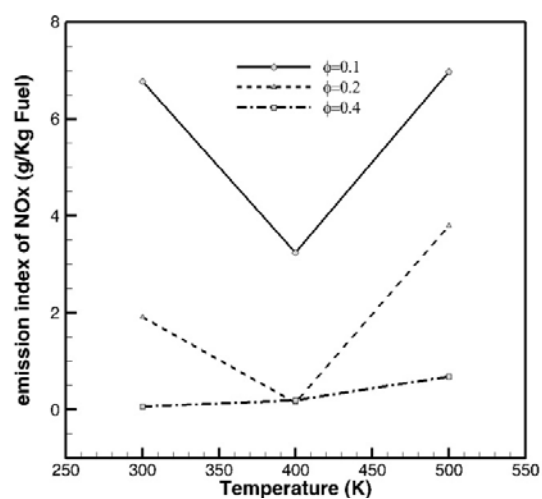
شکل ۱۲- نمودار شاخص آلایندگی هیدروکربن نسوخته بر حسب ضریب اکیووالنس به ازای دماهای ورودی مختلف جریان اصلی



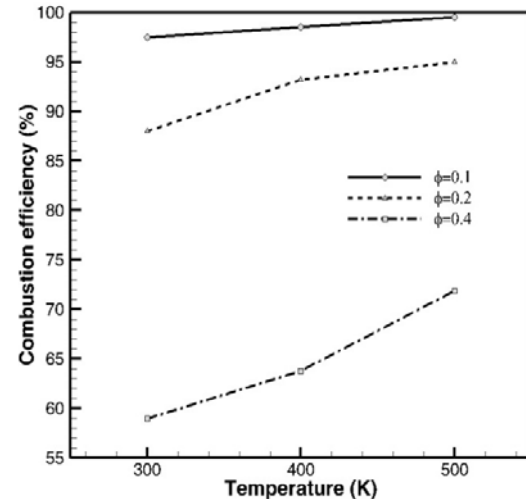
شکل ۱۶- شاخص آلایندگی مونوکسیدکربن بر حسب دماهای ورودی مختلف جریان اصلی به ازای ضریب اکیووالنس‌های کلی مختلف



شکل ۱۳- نمودار شاخص آلایندگی اکسیدهای نیتروژن بر حسب ضریب اکیووالنس به ازای دماهای ورودی مختلف جریان اصلی



شکل ۱۷- شاخص آلایندگی اکسیدهای نیتروژن بر حسب دماهای ورودی مختلف جریان اصلی به ازای ضریب اکیووالنس‌های کلی مختلف



شکل ۱۴- نمودار راندمان احتراق بر حسب دماهای ورودی مختلف جریان اصلی به ازای ضریب اکیووالنس‌های کلی مختلف

*Proceeding 39<sup>th</sup> Aerospace Sciences Meeting and Exhibit, January 2001.*

- [3] Hsu, K.-Y., Goss, L. and Roquemore, W., "Characteristics of a Trapped-Vortex Combustor," *Journal of Propulsion and Power*, Vol. 14, No. 1, 1998, pp. 57-65.
- [4] Esmaili, M., "
- [5] Katta, V.R. and Roquemore, W., Study on Trapped-Vortex Combustor-Effect of Injection on Flow Dynamics," *Journal of Propulsion and Power*, Vol. 14 , No. 3, 1998, pp. 273-281.
- [6] Agarwal, K.K., Krishna, S. and Ravikrishna, R., "Mixing Enhancement in a Compact Trapped Vortex Combustor," *Combustion Science and Technology*, Vol. 185, No. 3, 2013, pp. 363-378.
- [7] Burguburu, J., Cabot, G., Renou, B., Boukhalfa, A., Cazalens, M.M., "Flame Stabilization by Hot Products Gases Recirculation in a Trapped Vortex Combustor," *Proceeding of American Society of Mechanical Engineers*, June 2012, pp. 319-328.
- [8] Jin, Y., Li, Y., He, X., Zhang, J., Jiang, B., Wu, Z. Song, Y., Experimental Investigations on Flow Field and Combustion Characteristics of a Model Trapped Vortex Combustor, *Applied Energy*, Vol. 134, 2014, pp. 257-269.
- [9] Kumar, P.E. and Mishra, D., Combustion Noise Characteristics of an Experimental 2D Trapped Vortex Combustor, *Aerospace Science and Technology*, Vol. 43, 2015, pp. 388-394.
- [10] Wu, Z., Jin, Y., He, X., Xue, C. and Hong, L., "Experimental and Numerical Studies on a Trapped Vortex Combustor with Different Struts Width, *Applied Thermal Engineering*, Vol. 91, 2015, pp. 91-104.
- [11] Kumar, P.E. and Mishra, D., "Combustion Characteristics of a 2D Twin Cavity Trapped Vortex Combustor," *Journal of Engineering for Gas Turbines and Power*, 2017.
- [12] Zbeeb, K., "Syngas Heating Value Effects on Performance and Emissions of a Trapped Vortex Combustor," *Journal of Energy Resources Technology*, Vol. 138, No. 5, 2016, pp. 052209.
- [13] Chen, S., Chue, R.S., Yu, S.C., Schlüter, J. U., "Spinning Effects on a Trapped Vortex Combustor," *Journal of Propulsion and Power*, 2016, pp. 1133-1145.
- [14] Ghenai, C., Zbeeb, K. and Janajreh, I., "Combustion of Alternative Fuels in Vortex Trapped Combustor," *Energy Conversion and Management*, Vol. 65, 2013, pp. 819-828.
- [15] Bruno, C. and Losurdo, M., 'The Trapped Vortex Combustor: an Advanced Combustion Technology for Aerospace and Gas Turbine Applications,' in: *Advanced Combustion and Aerothermal Technologies*, Eds., Springer, pp. 365-384, 2007 .
- [16] Kumar, P.E. and Mishra, D., "Numerical Investigation of the Flow and Flame Structure in an Axisymmetric Trapped Vortex Combustor, *Fuel*, Vol. 102, pp. 78-84, 2012 .
- [17] Kumar, P.E. and Mishra, D., "Numerical Simulation of Cavity Flow Structure in an Axisymmetric Trapped Vortex Combustor, *Aerospace Science and Technology*, Vol. 21, No. 1, 2012, pp. 16-23.

## جمع بندی

مفهوم محفظه با گردابه به دام افتاده، از یک جریان چرخشی غنی (از سوخت) که در حفره به دام افتاده است، استفاده می‌کند. در این حالت یک شعله پیلوت به وجود می‌آید و به صورت پیوسته مخلوط رقیق عبوری از بالای حفره را مشتعل می‌کند. ناحیه چرخشی محصولات داغ احتراقی درون حفره و اختلاط سریع آنها با مخلوط رقیق اصلی، یک منبع اشتغال پیوسته را فراهم آورده و شعله را پایدار می‌سازد. در این مقاله، جریان واکنشی مغشوش در محفظه احتراق با گردابه به دام افتاده به صورت عددی شبیه‌سازی شده است. به منظور اعتبارسنجی مدل عددی، نتایج عددی مطالعه حاضر، با نتایج آزمایشگاهی سو و همکاران [۳] مقایسه شده است. با مقایسه نتایج شبیه‌سازی TVC با نتایج محدود آزمایشگاهی موجود نتیجه گرفته شد، مدل K-ω-SST به همراه واکنش شیمیایی دو مرحله‌ای و مدل SAS به همراه مدل PDF بهترین عملکرد را در محاسبه راندمان احتراق داشته و خطای این مدل‌ها برای محاسبه راندمان احتراق کمتر از ۵ درصد است. در مورد صدور آلاینده هیدروکربن نسخته نیز عملکرد مدل K-ω به همراه واکنش شیمیایی دو مرحله‌ای و مدل SAS به همراه PDF بهتر از دیگر ترکیب‌ها بوده است. ضمناً در مورد صدور آلاینده مونوکسیدکربن نیز عملکرد این دو ترکیب بهتر بوده ولی مدل K-ω به همراه واکنش شیمیایی دو مرحله‌ای بهترین کارایی را داشته و خطای محاسبه آن کمتر از ۱۰ درصد است. همچنین، نتایج نشان می‌دهند با افزایش نسبت هم ارزی کلی و در نتیجه کاهش میزان هوا، راندمان احتراق و شاخص آلاینده NOx، کاهش می‌یابند. برخلاف این دو پارامتر، با افزایش نسبت هم ارزی کلی، شاخص آلاینده مونوکسیدکربن و هیدروکربن نسخته افزایش می‌یابند. ضمناً، با افزایش دمای جریان اصلی ورودی به محفظه، دمای کلی احتراق افزایش یافته و محتوای سوخت در خروجی محفظه کاهش یافته و در نتیجه میزان راندمان احتراق افزایش می‌یابد. با افزایش دمای جریان ورودی اصلی، میزان شاخص آلاینده هیدروکربن نسخته و مونوکسید کربن کاهش می‌یابد. ضمناً، روند تغییر میزان شاخص آلاینده NOx، برای دماهای ورودی مختلف، روند یکنواخت نداشته و میزان شاخص در دمای ورودی ۴۰۰ درجه کلوین، کمینه است.

## مراجع

- [1] Hsu, K., Goss, L., Trump, D. and Roquemore, W., "Performance of a Trapped-Vortex Combustor," *AIAA Paper*, Vol. 810, 1995 .
- [2] Roquemore, W., Shouse, D., Burrus, D. and et.al., "Vortex Combustor Concept for Gas Turbine Engines,"

- [23] Menter, F. R., "Two-Equation Eddy-Viscosity Turbulence Models for Engineering Applications," *AIAA Journal*, Vol. 32, No. 8, 1994, pp. 1598-1605.
- [24] Menter, F.R. "Review of the Shear-Stress Transport Turbulence Model Experience from an Industrial Perspective, *International Journal of Computational Fluid Dynamics*, Vol. 23, No. 4, 2009, pp. 305-316.
- [25] Rotta, J. C., *Turbulente Strömungen: Eine Einführung in Die Theorie und ihre Anwendung*, Springer-Verlag, 2013.
- [26] Egorov, Y., Menter, F., Lechner, R. and Cokljat, D. "The Scale-Adaptive Simulation Method for Unsteady Turbulent Flow Predictions. Part 2: Application to Complex Flows, Flow," *Turbulence and Combustion*, Vol. 85, No. 1, 2010, pp. 139-165.
- [27] Menter, F. and Egorov, Y., "The Scale-Adaptive Simulation Method for Unsteady Turbulent Flow Predictions. Part 1: Theory and Model Description, Flow," *Turbulence and Combustion*, Vol. 85, No. 1, 2010, pp. 113-138.
- [18] Merlin, C., Domingo, P., Vervisch, L., "Large Eddy Simulation of Turbulent Flames in a Trapped Vortex Combustor (TVC)-A Flamelet Presumed-pdf Closure Preserving Laminar Flame Speed," *Comptes Rendus Mécanique*, Vol. 340, Issue 11-12, 2012, pp. 917-932.
- [19] Jiang, B., He, X., Jin, Y. and et. al., "Effects of Multi-Orifice Configurations of the Quench Plate on Mixing Characteristics of the Quench Zone in an RQL-TVC Model," *Experimental Thermal and Fluid Science*, Vol. 8, 2016, pp. 57-68.
- [20] Deng, Y. and Su, F., "Low Emissions Trapped Vortex Combustor," *Aircraft Engineering and Aerospace Technology, An International Journal*, Vol. 88, No. 1, 2016, pp. 33-41.
- [21] Fluent, User's Guide, 2014 .
- [22] Menter, F. R., Kuntz, M. and Langtry, R., Ten Years of Experience with the SST Turbulence Model *Turbulence, Heat and Mass Transfer 4*, Begell House Inc, 2003, pp. 625-632.